GEOLOGO GIOVANNI BERTAGNIN

ORDINE GEOLOGI PIEMONTE N°529 VIA ROATA 44 12010 ENTRACQUE

NCF BRTGNN68E29A165O PIVA 02834980043

CELL 3299242004 bertagnin@inwind.it



REGIONE PIEMONTE
PROVINCIA DI CUNEO

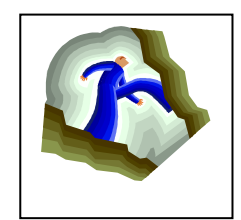
ALLEGATI RELAZIONE DEL MODELLO SISMICO

RELAZIONE GEOLOGICA AI SENSI DPR328/01 e DEL DM 2018 E CIRCOLARE ESPLICATIVA PER IL PROGETTO DI REALIZZAZIONE DI NUOVA STRUTTURA SCOLASTICA DELL'ISTITUTO SCOLASTICO DEI SALESIANI DEI SALESIANI DI FOSSANO.

COMMITTENZA
ISTITUTO SALESIANO
VIA GIUSEPPE VERDI, 22,
12045 FOSSANO CUNEO
0172-60629
RIF economo
Sig. Scotto Tommasio
Piva 00486350044

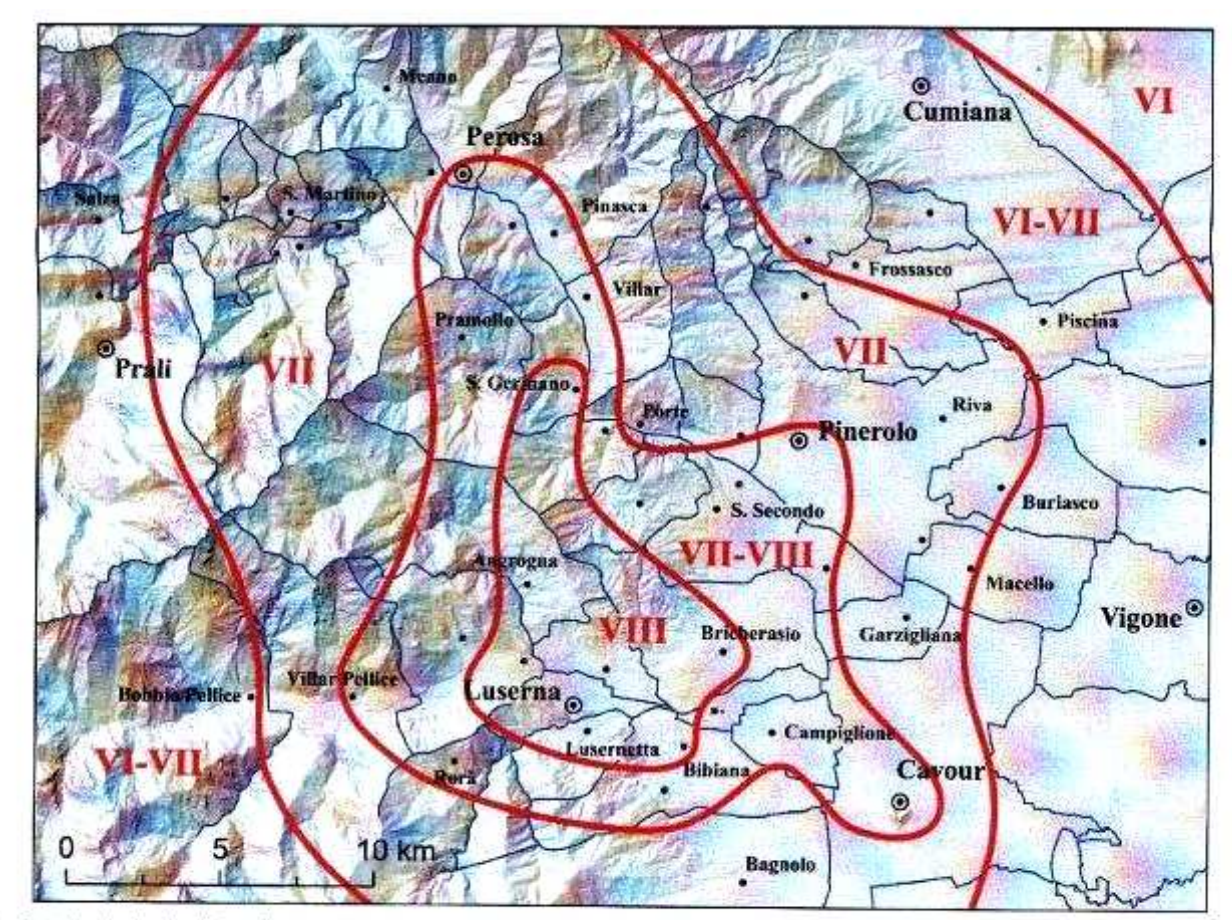
PROGETTISTA





ESTRATTO DA STUDI REGIONE PIEMONTE

SONO STORICAMENTE SEGNALATI EPICENTRI DI TERREMOTI VICINO AL SITO IN OGGETTO. IN BASE AI DATI STORICI NEL SITO IN OGGETTO I TERREMOTI NON ARRIVANO ATTENUATI E TAGLIATI DELLE ALTE FREQUENZE . SI RIMANDA A INDAGINI GEOFISICHE ESEGUITE CON METODO NAKAMURA PER VALUTARE EFFETTO DI SITO.



3. Carta delle isosiste (linee rosse) relative al terremoto del 2 aprile 1808. I punti indicano le località per le qua o informazioni sull'intensità macrosismica. Le linee blu indicano i confini comunali esistenti alla data dell'evento

SI RIPORTANO I DATI DEL SISMA MAGGIORE CHE SI E' VERIFICASI RIPORTANO I DATI DEL SISMA MAGGIORE CHE SI E' VERIFICATO VICINO AL SITO .

SI OSSERVI L'ATTENUAZIONE DEL SISMA ALLONTANANDOSI DALL'EPICENTRO TO VICINO AL SITO .

SI OSSERVI L'ATTENUAZIONE DEL SISMA ALLONTANANDOSI DALL'EPICENTRO

Database Macrosismico Italiano

DBMI15 http://emidius.mi.ingv.it/CPTI15-DBMI15/description_DBMI15.htm
DBMI15 è stato realizzato nell'ambito della linea di attività INGV T3 "Pericolosità sismica e contributi alla definizione del rischio" e quale contributo alle attività dell'Allegato A dell'Accordo quadro INGV-DPC 2012-2021.

Fossano PlaceID IT_05698 Coordinate (lat, lon) 44.550, 7.721 Comune (ISTAT 2015) Fossano Provincia Cuneo Regione Piemonte Numero di eventi riportati 31



Effetti			In occasione del terremoto del						
Int.	Anno Me Gi Ho Mi	e	Area epicentrale	NMDP	Io	Mor			
4	1549 05 13 08 3	0	Liguria occidentale	6	4-5	4.37			
4-5	1866 09 22 14 4	0	Piemonte centro-meridionale	13	4-5	4.38			
F	1878 06 07 22 2	5	Cuneese	34	6	4.86			
F	4 1881 07 22 02 4	5	Belledonne-Pelvoux	145	7	5.39			
4-5	1883 03 07 21 1	5	Piemonte sud-occidentale	21	4-5	4.17			
F	1884 11 23 16 1	5	Queyras	20	5	4.60			
F	🥵 1884 11 27 22 1	5	Alpi Cozie	63	6-7	5.17			
4	₫ 1886 09 05		Torinese	101	7	5.22			
6-7	1887 02 23 05 2	1 5	Liguria occidentale	1511	9	6.27			
NF	₫ 1889 12 08		Gargano	122	7	5.47			
3	1896 10 16		Liguria occidentale	55	6	4.91			
4-5	1900 04 05 22 2	7 3	Cuneese	24	5	4.30			
3-4	g 1900 05 10 08		Cuneese	16	4-5	4.10			
4	₫ 1900 12 30 23 3	5 2	Alto Monferrato	36	5	4.38			
4	1901 04 20 09 3	5 0	Cuneese	15	5	4.31			
4	💋 1901 O5 25 O3 5	9 2	Piemonte centro-meridionale	35	5	4.50			
3	1901 10 30 14 4	9 5	Garda occidentale	289	7-8	5.44			
2	1905 04 29 01 4	5 4	Haute-Savoie, Vallorcine	267	7-8	5.10			
5-6	1905 05 30 04 5	5	Cuneese	121	5-6	4.68			
3-4		В	Liguria occidentale	82	5	4.41			
3	1917 01 07 03 3	9	Savonese	32	5	4.35			
4	💋 1919 11 28 21 3	В	Alpi Marittime	24	5-6	4.92			
4	1920 09 07 05 5	5 4	Garfagnana	750	10	6.53			
2-3	🗗 1927 12 11 15 4	9	Val di Susa	13	5	4.36			
3	1935 02 19 00 0	1 0	Cuneese	45	5	4.34			
5	₫ 1947 02 17 00 1	2 3	Alpi Cozie	283	5-6	4.74			
3	1951 05 15 22 5	4	Lodigiano	179	6-7	5.17			
3		2 4	Cuneese	37	6	4.62			
NF:	🥵 1983 11 09 16 2	9 5	Parmense	850	6-7	5.04			
NF		4 5	Liguria occidentale	336	5	4.34			
F		1 2	Torinese	105	5	4.67			

Secondo il giudizio dello scrivente e di insigni professori la caratterizzazione sismica con metodi statistici del territorio italiano analizza una serie storica troppo corta per definire tale rischio con basso margine di errore

- Il §3.2 delle NTC introduce il fondamentale concetto di azione sismica. I seguenti sono alcuni concetti principali relativamente al metodo proposto.
 - 1. Ogni punto del territorio è caratterizzato da un'azione sismica fondamentale (*pericolosità sismica di base*), identificata a partire dai nodi di un reticolo di 4 km di lato.
 - 2. L'azione sismica è di tipo **probabilistico** (% di superamento, equivalente a 100 percentile della distribuzione statistica di appartenenza).
 - 3. Il modello è stato creato a partire della teoria del **probabilismo sismotettonico**.
- 1 §3.2 delle NTC introduce il fondamentale concetto di azione sismica. I seguenti sono alcuni concetti principali relativamente al metodo proposto.
 - 4. Ogni punto del territorio è caratterizzato da un'azione sismica fondamentale (*pericolosità sismica di base*), identificata a partire dai nodi di un reticolo di 4 km di lato.
 - 5. L'azione sismica è di tipo **probabilistico** (% di superamento, equivalente a 100 percentile della distribuzione statistica di appartenenza).
 - 6. Il modello è stato creato a partire della teoria del **probabilismo sismotettonico**.

SISMICA PASSIMA

.estratto .pubblicazioni dott. Castellaro

AMPLIFICAZIONE SISMICA LOCALE

- sono amplificazioni locali delle onde sismiche
- sono spesso più distruttivi della stessa grandezza del terremoto
- sono dovuti a particolari condizioni geologiche e topografiche

SI ESCLUDE FENOMENO DI DOPPIA RISONANZA PER STRUTTURE INTORNSI ESCLUDE FENOMENO DI DOPPIA RISONANZA PER STRUTTURE INTORNO ESEMPIO DI RISONANZA TERREMOTO STRUTTURA

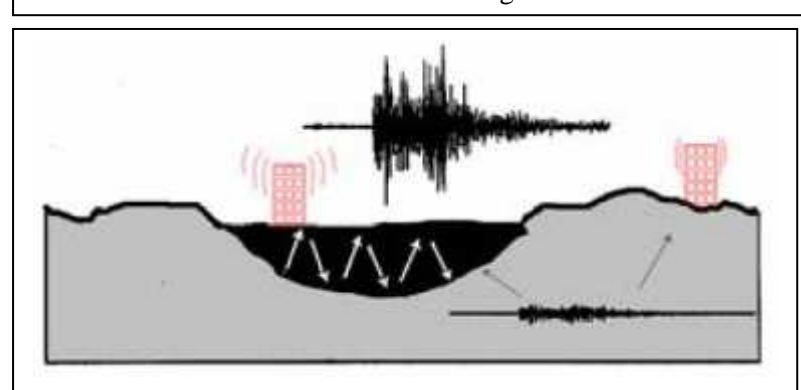
http://www.youtube.com/watch?v=YngCO4VBKnI

ESTRATTO ...pubblicazioni dott. Castellaro

Sismica passiva lavora sul microtermore in pratica per l'analisi si Prende tutto il rumore antropico macchine in passaggio, alberi che vibrano, vento e viene utilizzato tutto il segnale non solo il primo arrivo come nella sismica a rifrazione. La Storia nasce dall'analisi effettuata in tutte stazioni sismiche mondiali misurano il tremore con il pattern caratteristico misurato su roccia che si osservato essere uguale per tutte le stazioni sismiche.

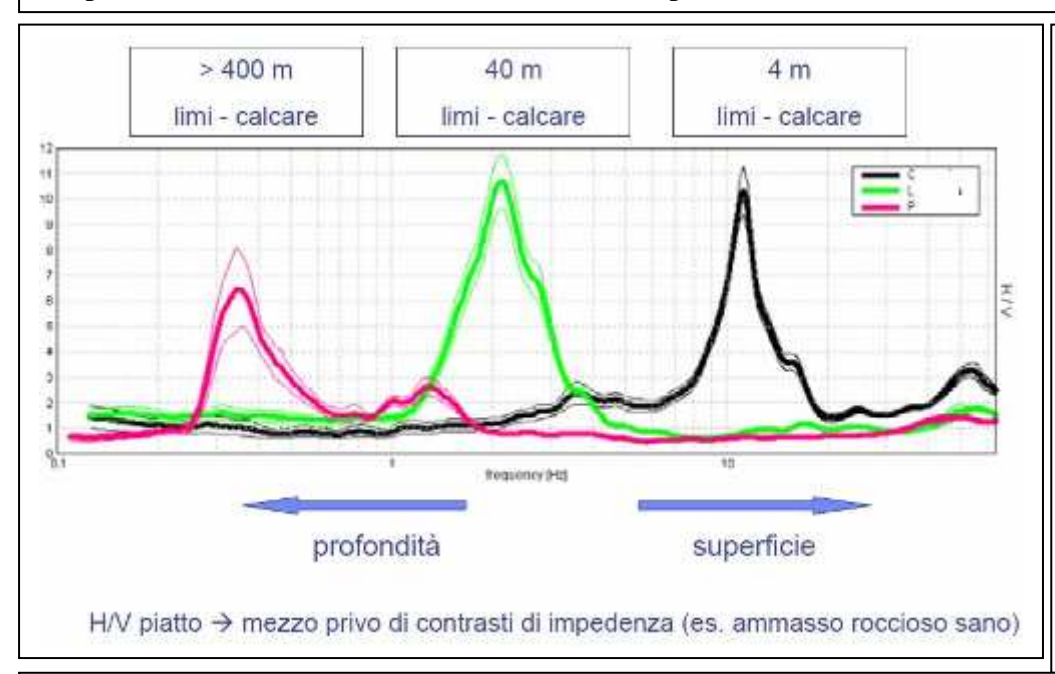
Sotto 1 hz l'origine del tremore e' di origine metereologica. I microtremori di origine antropica hanno frequenza intorno a 8hz. Per analisi molto in profondità intorno a 400m occorre analizzare frequenze sotto i 0.5hz. per analisi superficiali basta analizzare frequenze maggiori.

Il rumore non conserva traccia della sorgente ma è molto sensibile alla struttura locale vicino alla stazione di misura.



Le analisi considerano quindi la Sorgente – il percorso e le caratteristiche del terreno attraversato che fa da filtro e amplifica. Vengono in pratica rilevate le componenti verticali poi le componenti orizzontali vengono analizzate si fa il rapporto e si misura l'amplificazione di sito e quindi si rileva il contrasto di impedenza strato su strato in particolare strato poco addensato su strato rigido.

Quindi per ogni suolo posso ricavare le amplificazioni a determinate frequenze posso quindi ricavare valori di spessore e di velocita' di strato in base alla formula f=V/4h (f=frequenza di risonanza -- V= velocita'---h=spessore limitandoci al mododo fondamentale per sistemi bistrato



La durata della misura dipende dalla profondita' che si vuole raggiungere. Per analisi di rifrattori a 5 metri e quindi con picchi intorno a 10 hz il segnale che si ripete 10 volte al secondo quindi basterebbero 10 secondi per campionare il segnale 100 volte mentre per analisi di rifrattori a 1 km e quindi con picchi a 0.1 hz in un minuto il picco si ripete 6 volte e quindi occorre essere ridondanti almeno 40/50 nella misura.

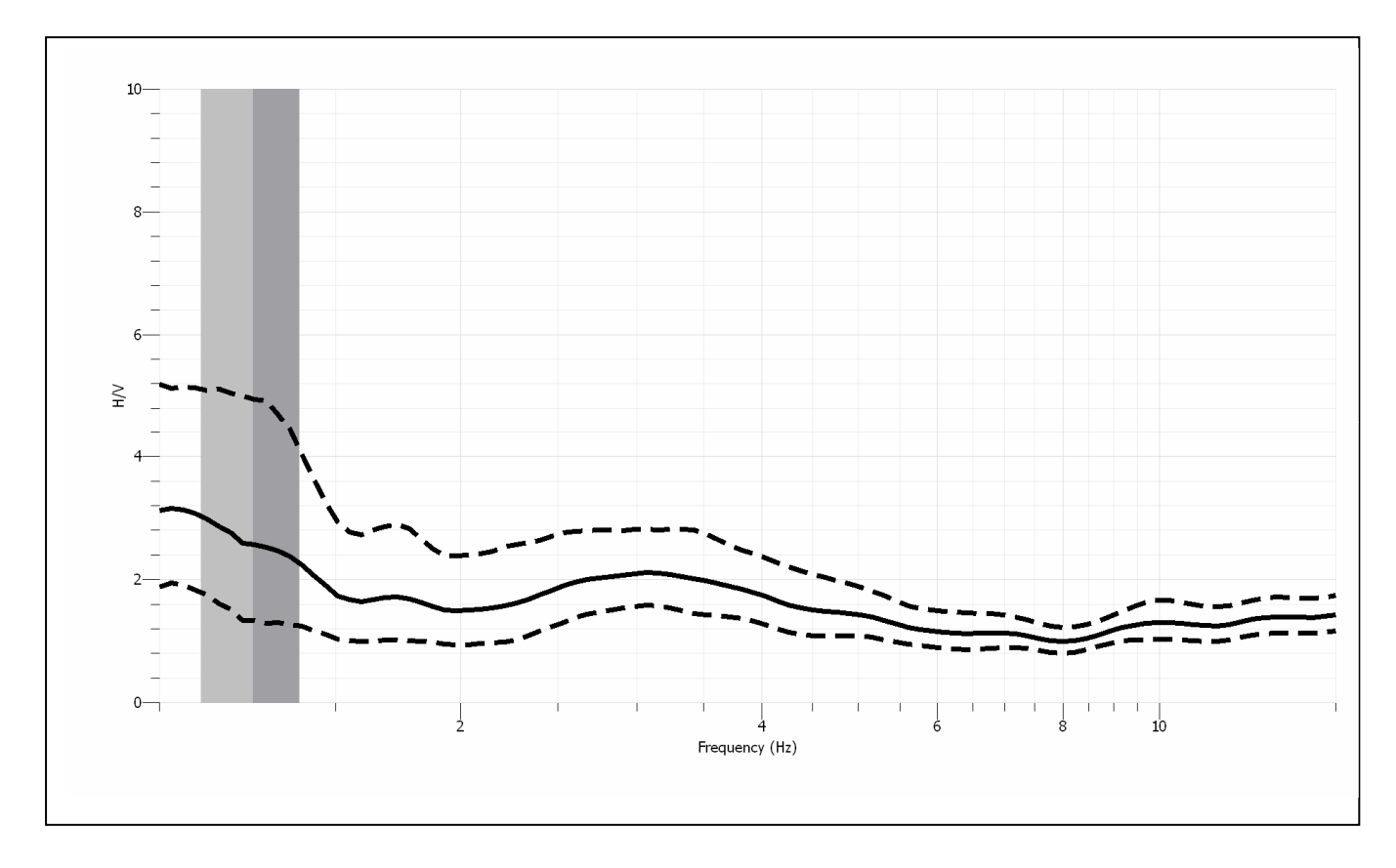
Il problema della risposta di sito nasce dalla osservazione effettuata in seguito a terremoti distruttivi, che il tipo di danno subito da costruzioni analoghe può variare fortemente anche entro distanze ravvicinate (poche centinaia o addirittura poche decine di metri) e che in molti casi la risposta più plausibile deve essere ricercata nella differenza di comportamento dei terreni di fondazione o in altri fattori inerenti la geologia e la morfologia superficiale.Com'è noto, infatti, la composizione spettrale di un'evento sismico subisce una prima modifica nel percorso fra il fuoco e il basamento rigido di una qualsiasi area considerata (funzione di attenuazione) ed una seconda modifica nel percorso attraverso i materiali (non rigidi) presenti fra il basamento e la superficie. Quest'ultima modifica, alterando il contenuto spettrale del sisma, è di notevole importanza poichè condiziona le sollecitazioni cui potranno essere sottoposte le strutture in quel sito. Risulta quindi necessario far ricorso a metodologie che permettano di definire come i terreni di copertura del "bedrock" possano influenzare l'ampiezza delle onde in superficie.

UBICAZIONE DI INDAGINE DI MICROTREMORE ESEGUITA AL CENTRO DEL CAMPO DA CALCIO



Non evidenti picchi e possibili contrasti di impedenza che possono amplificare un evento sismico . non rilevata amplificazione sismica locale .

non rilevati contrasti di impedenza tra ghiaia e argilla nella successione sedimentaria . l'indagine H/V e' molto importante poiche permette di qualificare il sito o declassare il sito in relazione al margine di errore dell' indagine MASW



INDAGINA SISMICA METODO MASW

SPAZIO GEOFONI 2 M GEOFONI 24 SHOT ESTERNI A 2 M LUNGHEZZA LINEA 50M









La geofisica osserva il comportamento delle onde che si propagano all'interno dei materiali. Un segnale sismico, infatti, si modifica in funzione delle caratteristiche del mezzo che attraversa. Le onde possono essere generate in modo artificiale attraverso l'uso di masse battenti, di scoppi, etc.

Moto del segnale sismico

Il segnale sismico può essere scomposto in più fasi ognuna delle quali identifica il movimento delle particelle investite dalle onde sismiche. Le fasi possono essere:

- P-Longitudinale: onda profonda di compressione;
- S-Trasversale: onda profonda di taglio;
- L-Love: onda di superficie, composta da onde P e S;
- R-Rayleigh: onda di superficie composta da un movimento ellittico e retrogrado.

Onde di Rayleigh - "R"

In passato gli studi sulla diffusione delle onde sismiche si sono concentrati sulla propagazione delle onde profonde (P,S) considerando le onde di superficie come un disturbo del segnale sismico da analizzare. Recenti studi hanno consentito di creare dei modelli matematici avanzati per l'analisi delle onde di superficie in mezzi a differente rigidezza.

Analisi del segnale con tecnica MASW

Secondo l'ipotesi fondamentale della fisica lineare (Teorema di Fourier) i segnali possono essere rappresentati come la somma di segnali indipendenti, dette armoniche del segnale. Tali armoniche, per analisi monodimensionali, sono funzioni trigonometriche seno e coseno, e si comportano in modo indipendente non interagendo tra di loro. Concentrando l'attenzione su ciascuna componente armonica il risultato finale in analisi lineare risulterà equivalente alla somma dei comportamenti parziali corrispondenti alle singole armoniche. L'analisi di Fourier (analisi spettrale FFT) è lo strumento fondamentale per la caratterizzazione spettrale del segnale. L'analisi delle onde di Rayleigh, mediante tecnica MASW, viene eseguita con la trattazione spettrale del segnale nel dominio trasformato dove è possibile, in modo abbastanza agevole, identificare il segnale relativo alle onde di Rayleigh rispetto ad altri tipi di segnali, osservando, inoltre, che le onde di Rayleigh si propagano con velocità che è funzione della frequenza. Il legame velocità frequenza è detto spettro di dispersione. La curva di dispersione individuata nel dominio f-k è detta curva di dispersione sperimentale, e rappresenta in tale dominio le massime ampiezze dello spettro.

Modellizzazione

E' possibile simulare, a partire da un modello geotecnico sintetico caratterizzato da spessore, densità, coefficiente di Poisson, velocità delle onde S e velocità delle Onde P, la curva di dispersione teorica la quale lega velocità e lunghezza d'onda secondo la relazione:

$$v = \lambda \times v$$

Modificando i parametri del modello geotecnico sintetico, si può ottenere una sovrapposizione della curva di dispersione teorica con quella sperimentale: questa fase è detta di inversione e consente di determinare il profilo delle velocità in mezzi a differente rigidezza.

Modi di vibrazione

Sia nella curva di inversione teorica che in quella sperimentale è possibile individuare le diverse configurazioni di vibrazione del terreno. I modi per le onde di Rayleigh possono essere: deformazioni a contatto con l'aria, deformazioni quasi nulle a metà della lunghezza d'onda e deformazioni nulle a profondità elevate.

Profondità di indagine

Le onde di Rayleigh decadono a profondità circa uguali alla lunghezza d'onda. Piccole lunghezze d'onda (alte frequenze) consentono di indagare zone superficiali mentre grandi lunghezze d'onda (basse frequenze) consentono indagini a maggiore profondità.

Tracce

N. tracce 24 Durata acquisizione 1536.0 [msec]

Interdistanza geofoni 2.0

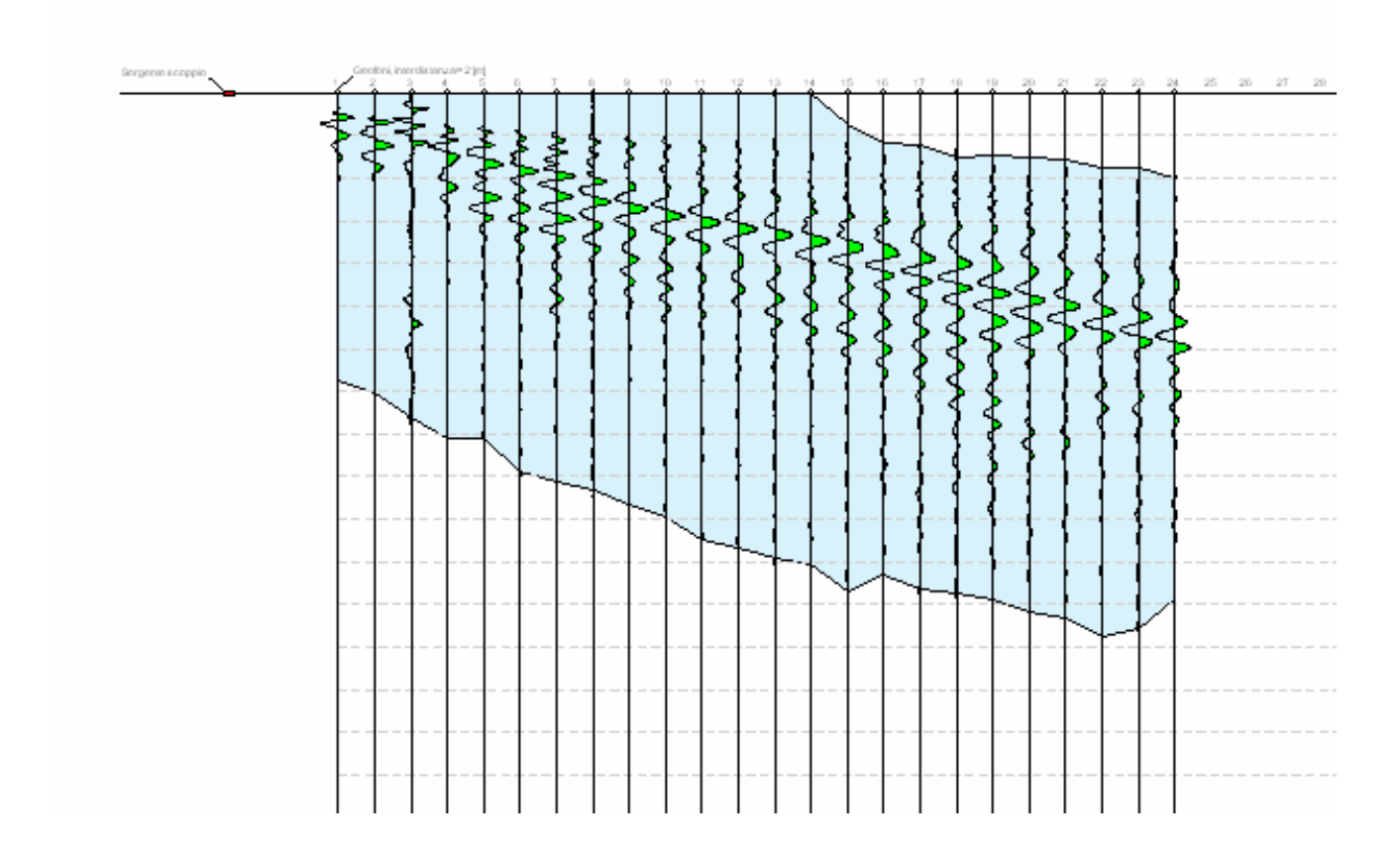
[m]

Periodo di 0.50

campionamento

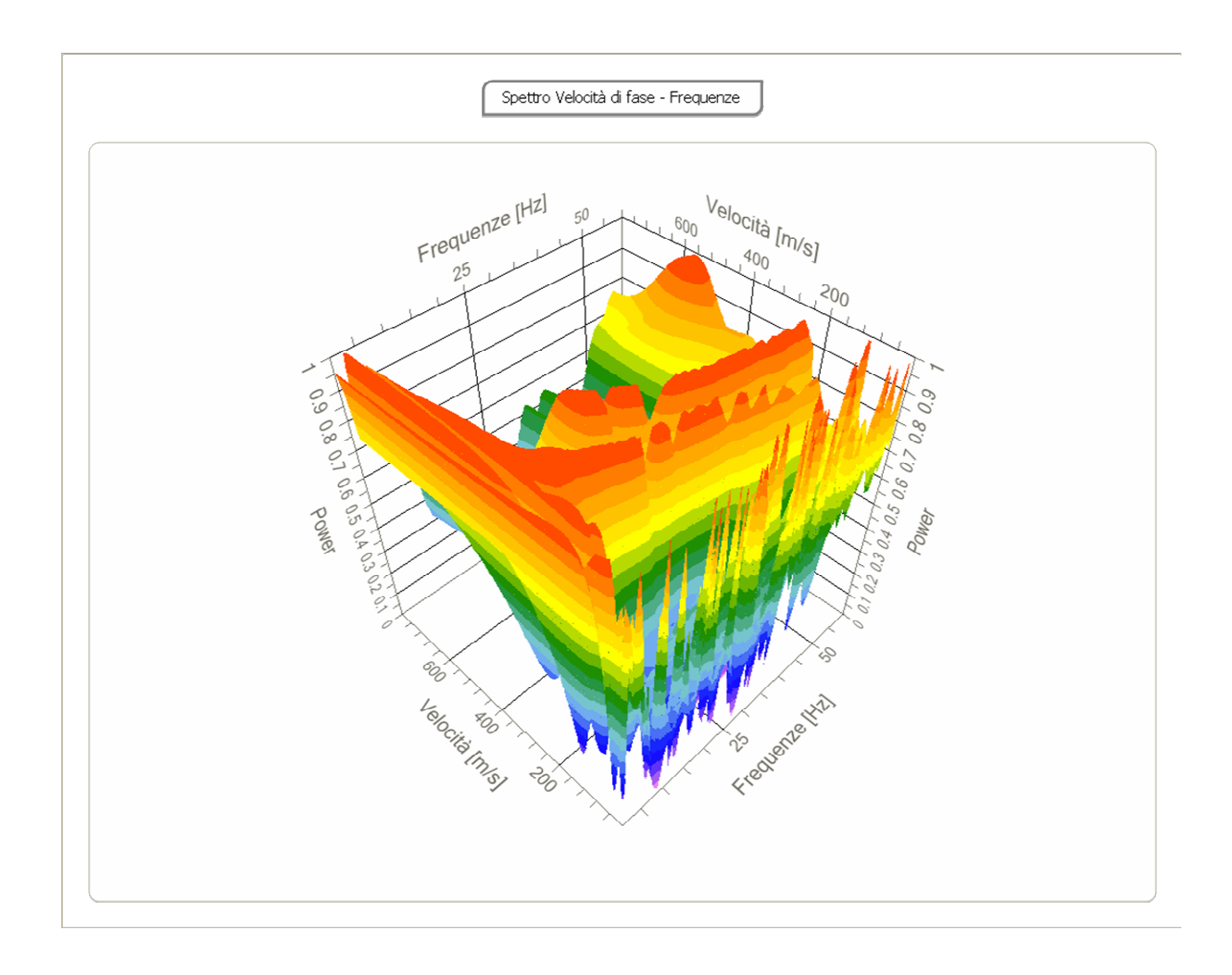
[msec]

Committente: SALESIANI Operatore: BERTAGNIN Data: 27/02/2019 Zona: STAZIONE

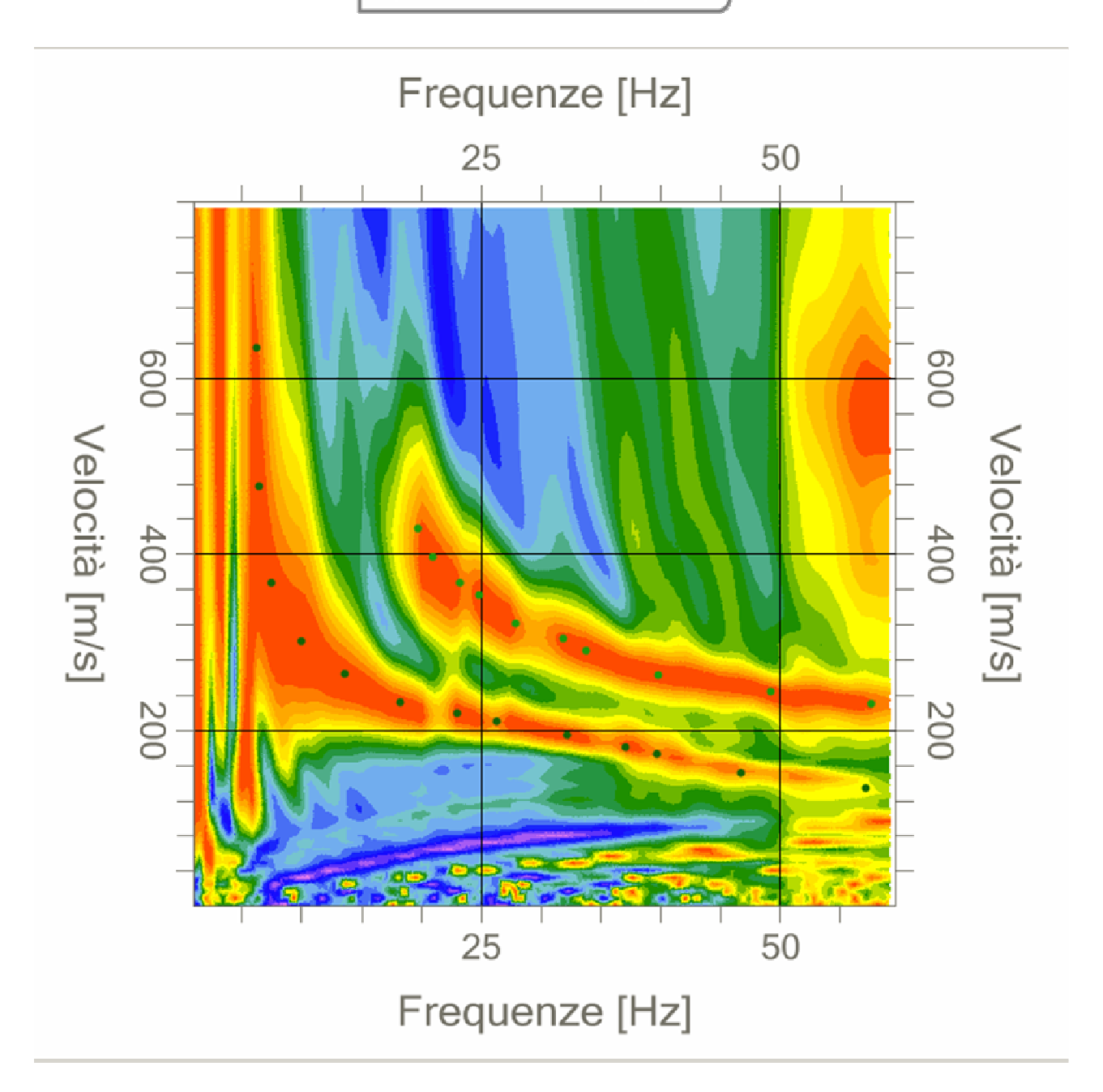


Analisi spettrale

Frequenza minima di elaborazione [Hz]
Frequenza massima di 60 elaborazione [Hz]
Velocità minima di 1 elaborazione [m/sec]
Velocità massima di 800 elaborazione [m/sec]
Intervallo velocità 1 [m/sec]



Spettro Velocità di fase - Frequenze

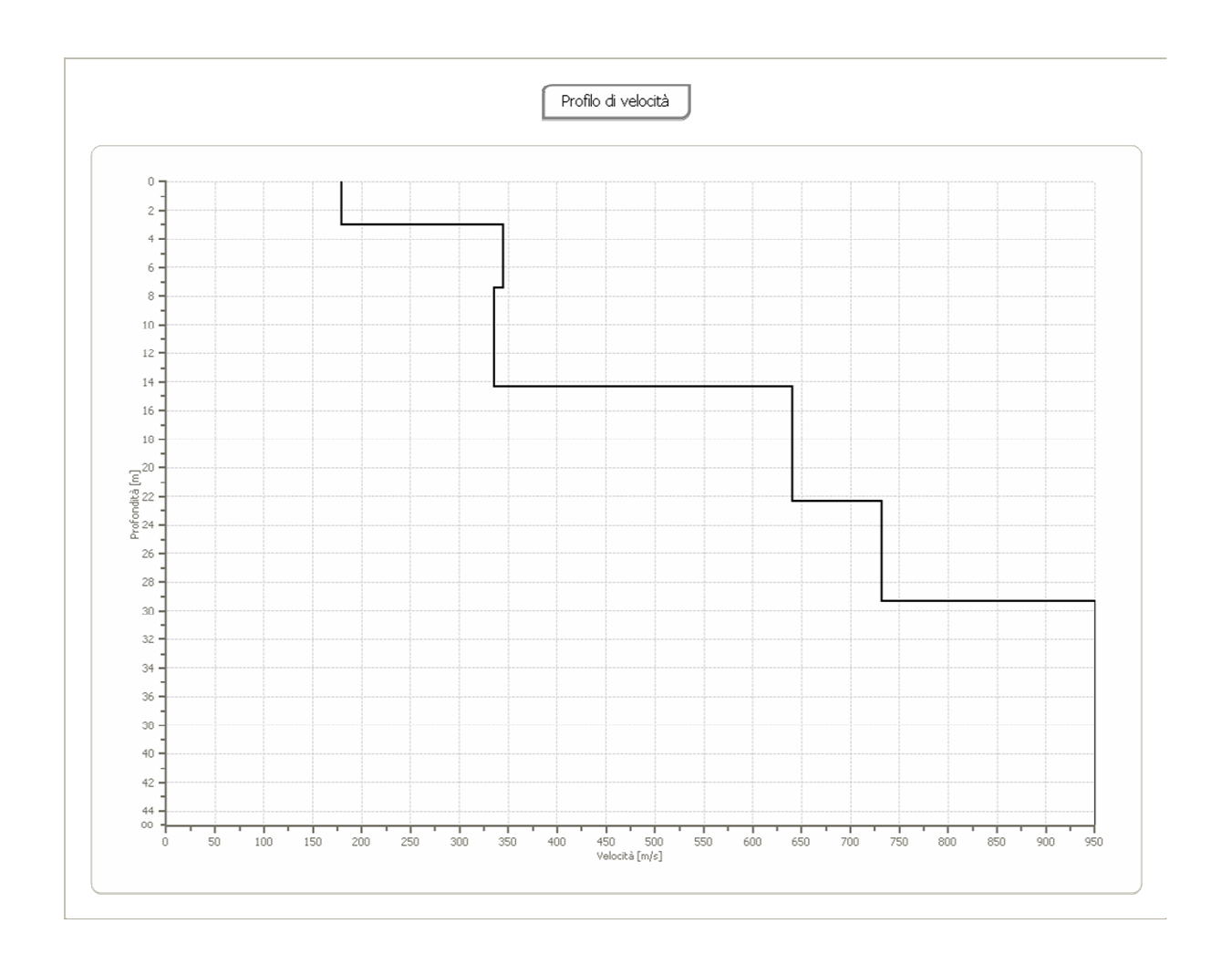


PIKING ESEGUITO SU PRIMO E SECONDO MODO

•	•	
Inv	version	ρ

	•							
n.	Descrizio Profondit		Spessore	Peso unità	Coefficie	Falda	Vp	Vs
	ne	à	[m]	volume	nte		[m/sec]	[m/sec]
		[m]		[kg/mc]	Poisson			
1		2	2	1800.0	0.2	No	293.3	179.6
2		7.45	4.40	1800.0	0.2	No	563.5	365
3		14.35	6.90	1800.0	0.2	No	546.9	384
4		22.33	7.98	1800.0	0.2	No	1045.2	640.0
5		29.35	7.02	1800.0	0.2	No	1194.9	731.7
6		00	00	1800.0	0.2	No	1552.1	950.4

Percentuale di errore 20 % Fattore di disadattamento della soluzione 0.100



Altri parametri geotecnici

That parametri Severence												
n.	Profon	Spesso	Vs	Vp	Densit	Coeffi	G0	Ed	M0	Ey	NSPT	Qc
	dità	re	[m/s]	[m/s]	à	ciente	[MPa]	[MPa]	[MPa]	[MPa]		[kPa]
	[m]	[m]			[kg/m	Poisso						
					c]	n						
1	2	2	179.62	293.32	1800.0	0.30	58.08	154.87	77.43	139.38	N/A	443.16
					0							
2	7.45	4.40	360.08	563.52	1800.0	0.3	214.35	571.59	285.80	514.44	N/A	N/A
					0							
3	14.35	6.90	384.0	546.89	1800.0	0.30	201.88	538.36	269.18	484.52	N/A	N/A
					0							
4	22.33	7.98	640.02	1045.1	1800.0	0.3	737.33	1966.2	983.11	1769.5	N/A	N/A
				5	0			2		9		
5	29.35	7.02	731.73	1194.9	1800.0	0.30	963.77	2570.0	1285.0	2313.0	N/A	N/A
				1	0			5	2	4		
6	00	00	950.43	1552.0	1800.0	0.3	1625.9	4335.9	2167.9	3902.3	0	N/A
				5	0		9	7	8	7		

G0: Modulo di deformazione al taglio;

Ed: Modulo edometrico;

M0: Modulo di compressibilità volumetrica;

Ey: Modulo di Young;

CLASSIFICAZIONE SISMICA

Ai sensi vigenti norme tecniche (prof. Castellaro 2009 occorre stimare l'errore ammissibile dell'interpretazione Geopsy per il modello in oggetto e' stimata dell'ordine del 30% visto che l'indagine NAKAMURA non ha rilevato amplificazione delle onde sismiche, visti i dati emersi dalla prova penetro metrica.

CAUTELATIVAMENTE Si ritiene che l'azione sismica nel sito sia comunque compatibile con la **categoria "B"** per i seguenti motivi:

- NON rilevati contrasti di impedenza acustica, poiché NON sono evidenti repentine variazioni nella velocità delle onde superficiali nella parte più superficiale della successione
- o Il segnale HVSR misurato nel sito non mostra picchi di amplificazione
- o La stratigrafia rilevata con prova penetro metrica evidenzia la presenza livelli ghiaiosi addensati che non possono produrre amplificazione sismica
- o In conclusione, appare pertanto tecnicamente sensato classificare il sottosuolo nel sito per l'opera in progetto in **categoria B**;

Infine, si sottolinea che il caso più pessimistico previsto dalla normativa in relazione alla categoria**S2**, ossia la 'presenza di terreni suscettibili di liquefazione e/o di argille d'elevata sensitività', può essere escluso nella situazione in esame in base alla stratigrafia e alla presenza di ghiaie.

LA CLASSIFICAZIONE DELLE CONDIZIONI TOPOGRAFICHE

Non ricorrendo in corrispondenza del sito in esame la condizione di altezza del pendio maggiore di 30 m, può essere classificata come soggetta ad amplificazione SiSMica.T1 Le morfologie devono essere considerate nella definizione dell'azione sismica se di altezza maggiore di 30 m.

Risultati

Profondità piano di 0.00 posa [m] Vs30 [m/sec] 410.45 Categoria del suolo B